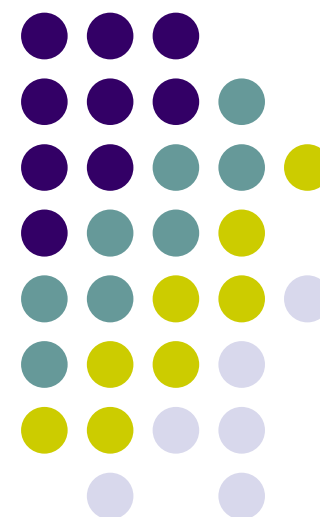


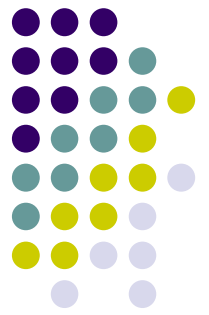
Realni spektri

Obrada informacija

Damir Seršić

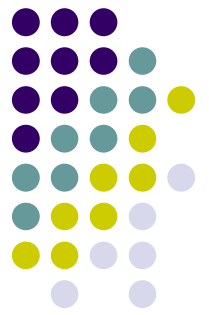
<http://www.fer.hr/predmet/obrinf>





Teme

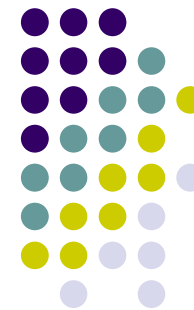
- Realni spektri: motivacija i prijelaz.
- Varijante parne i periodičke ekstenzije.
- Diskretna kosinusna transformacija (DCT)
- DCT matrica i filtarski slog
- Modificirana DCT
- MDCT filtarski slog
- Wavelet transformacija: Haar



Od DFT do DCT: motivacija

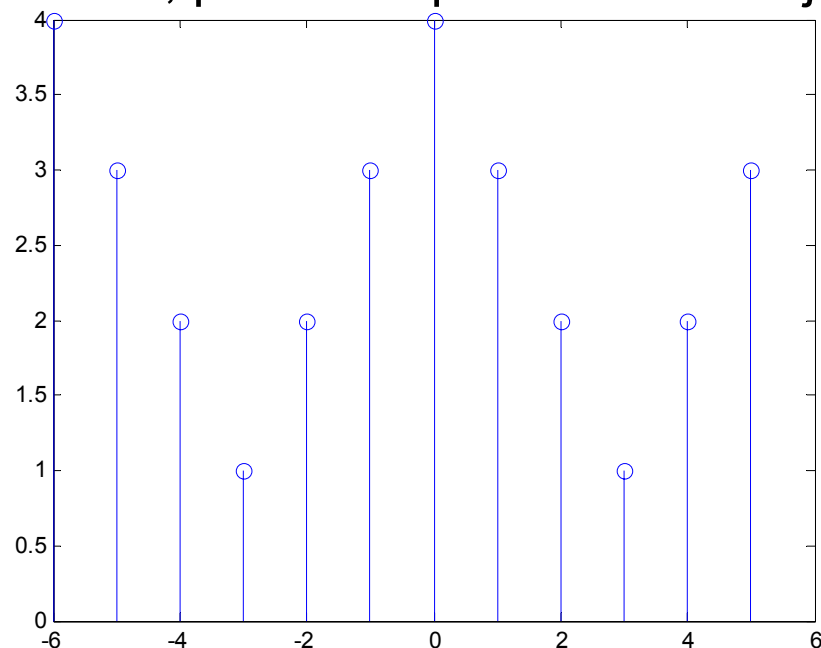
- Za potrebe kompresije signala, treba nam transformacija signala koja daje **sažet opis**: mali broj uzoraka spektra značajno različitih od nule.
- DFT nam daje kompleksni spektar periodički proširenog signala:
 - kompleksna reprezentacija je redundantna,
 - periodičko proširenje signala često rezultira diskontinuitetom, za čiji opis treba puno DFT koeficijenata te opis nije sažet.
- Tražimo **realnu transformaciju, sa sažetim opisom** (mali broj “velikih” uzoraka spektra).

Kada DFT zadovoljava naš zahtjev?

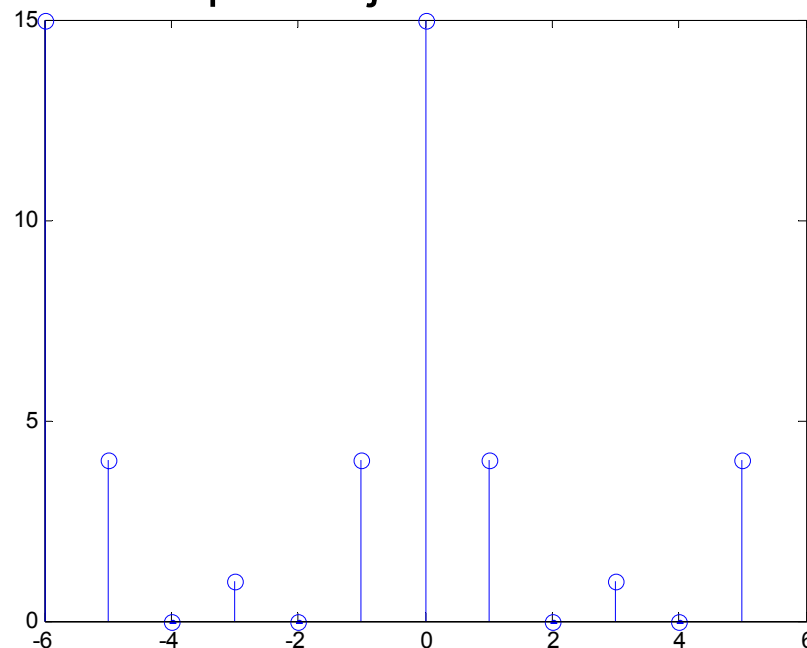


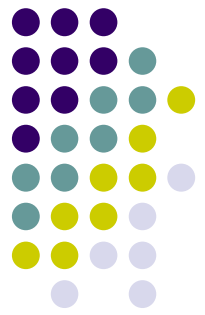
- Parne funkcije daju samo kosinusne članove DFT spektra: imaginarni dio je jednak nuli.
- Parne funkcije su simetrične oko nule, pa njihovo periodičko proširenje ne uzrokuje diskontinuitete.

Parna, periodički proširena funkcija



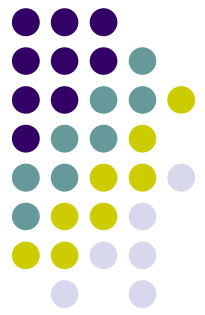
DFT spektar je realan i “sažet”





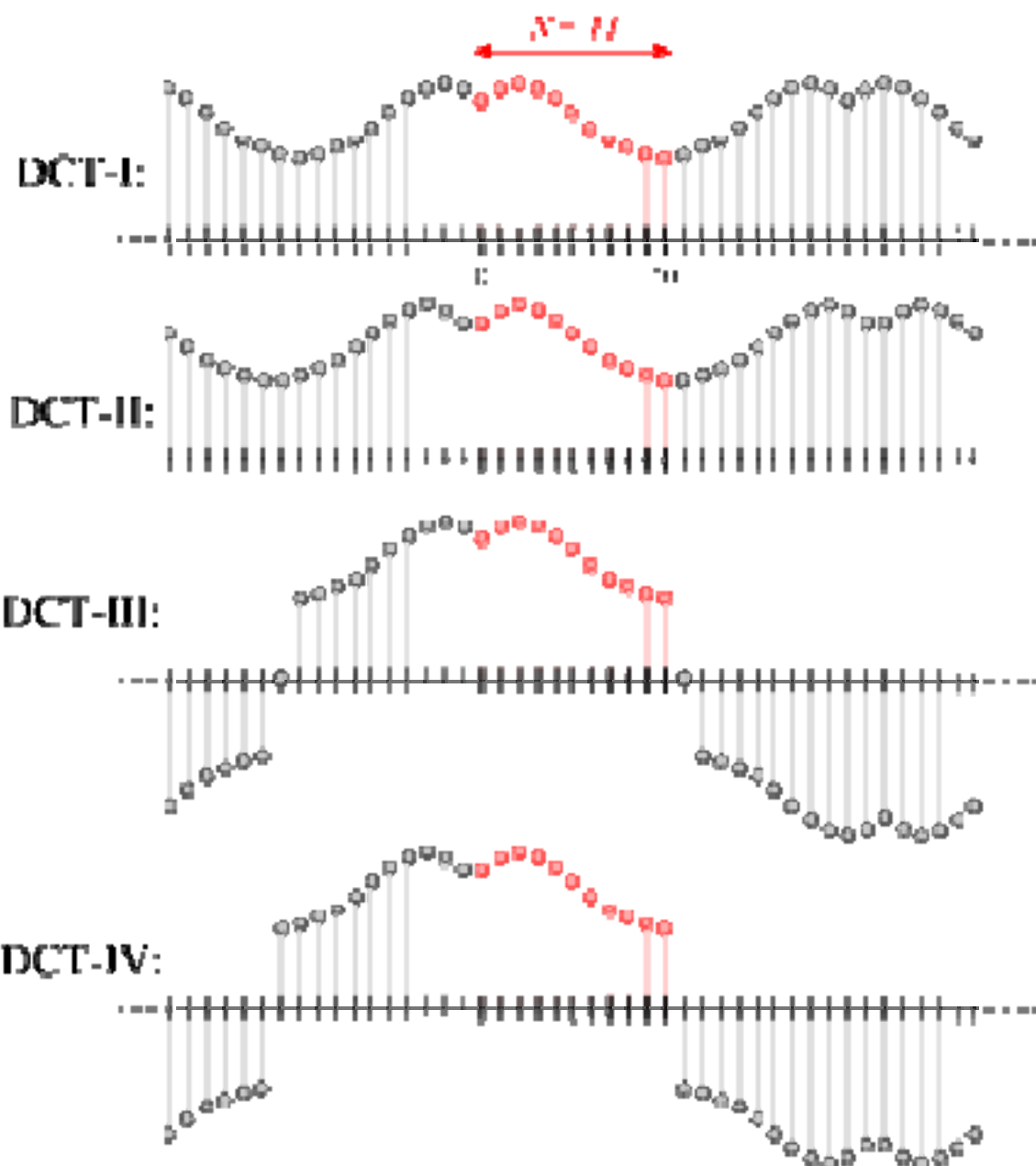
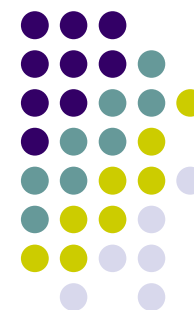
Parna nadopuna

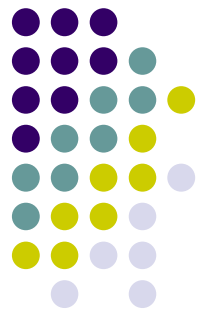
- Općenito, signali nisu parne funkcije.
- Ideja: konačan signal trajanja N nadopuniti tako da postane paran!
- Parna, a zatim periodična ekstenzija se mogu napraviti na više načina, ovisno o točkama simetrije.
- Za signal $\{\underline{a}, b, c, d, e\}$, $N = 5$ imamo dvije varijante parne nadopune u nuli:
 - $\{d, c, b, \underline{a}, b, c, d, e\}$, bez ponavljanja prvog i zadnjeg, ili
 - $\{e, d, c, b, a, \underline{a}, b, c, d, e\}$ s ponavljanjem prvog uzorka.
- Uočimo da je u drugom slučaju os simetrije između dva uzorka.



Periodična nadopuna

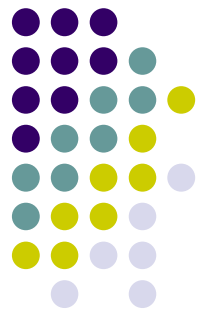
- Nadalje, periodična ekstenzija se može napraviti na više načina.
- Simetrična:
 - $\{d, c, b, \underline{a}, b, c, d, e\}_{2N-2}$
 - $\{e, d, c, b, a, \underline{a}, b, c, d, e\}_{2N}$
- Antisimetrična:
 - $\{0, d, c, b, \underline{a}, b, c, d, e, -0, -d, -c, -b, -a, -b, -c, -d, -e\}_{4N}$
 - $\{e, d, c, b, a, \underline{a}, b, c, d, e, -e, -d, -c, -b, -a, -a, -b, -c, -d, -e\}_{4N}$
- U sve 4 varijante imamo parne funkcije, pa DFT spektar sadrži samo kosinusne članove.





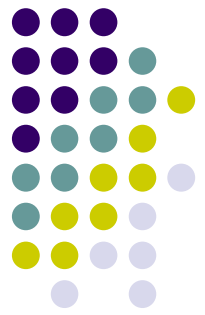
Od DFT do DCT-I, primjer

- Naš signal neka je $\{1, 2, 3, 4, 5\}$, $N = 5$.
- Razmotrimo prvi slučaj: parno i periodično proširenje signala: $\{4, 3, 2, 1, 2, 3, 4, 5\}_8$.
- DFT/2 je: $\{12, -3.41, 0, -0.59, 0, -0.59, 0, -3.41\}$.
- Uzorci se periodički ponavljaju, a sva informacija sadržana je u prvih 5 uzoraka rezultata: $\{12, -3.41, 0, -0.59, 0\}$.
- Postupak nazivamo DCT (*eng. Discrete Cosine Transform*), tip 1.



Još o DCT-I

- Inverzna DCT-I je DCT-I pomnožena sa $2/(N-1)!$
- Kako se prvi i zadnji uzorak (u primjeru 1 i 5) javljaju u ekstenziji samo jednom, a ostali dvaput, često se ti uzorci množe s faktorom $\sqrt{2}$, dok se prvi i zadnji koeficijent spektra dijele s istim faktorom $\sqrt{2}$.
- Ako se cijeli rezultat dodatno skalira množenjem svih uzoraka spektra sa $\sqrt{[2/(N-1)]}$, tako skalirana DCT-I transformacija čuva energiju, te za nju vrijedi Parsevalov teorem.



Od DFT do DCT-I, analitički

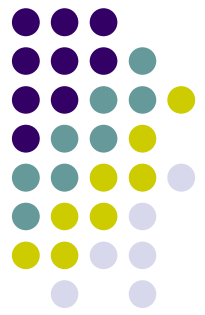
- Izraz za DFT:

$$X_{DFT}(k) = \sum_{n=0}^{N-1} x(n) e^{-j\frac{2\pi}{N}nk}$$

- DFT/2 uz parno proširenje $x(n)$, varijanta 1:

$$X(k) = \frac{1}{2} \sum_{n=0}^{N-1} x(n) e^{-j\frac{2\pi}{2N-2}nk} + \frac{1}{2} \sum_{n=1}^{N-2} x(n) e^{-j\frac{2\pi}{2N-2}(2N-2-n)k}$$

$$= \frac{1}{2} \sum_{n=0}^{N-1} x(n) e^{-j\frac{2\pi}{2N-2}nk} + \frac{1}{2} \underbrace{e^{-j\frac{2\pi}{2N-2}(2N-2)k}}_1 \sum_{n=1}^{N-2} x(n) e^{-j\frac{2\pi}{2N-2}(-n)k}$$



Od DFT do DCT-I, analitički

$$X(k) = \frac{1}{2} \sum_{n=0}^{N-1} x(n) e^{-j \frac{2\pi}{2(N-1)} nk} + \frac{1}{2} \sum_{n=1}^{N-2} x(n) e^{+j \frac{2\pi}{2(N-1)} nk}$$

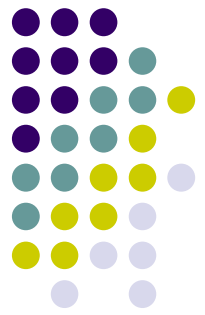
↑
Prva suma ima dva pribrojnika više
(prvi i zadnji), koje izdvojimo posebno:

Dvije sume s istim brojem
pribrojnika udružimo:

$$= \frac{1}{2} x(0) + \frac{1}{2} x(N-1) \underbrace{e^{-j \frac{\pi}{(N-1)} (N-1)k}}_{-1^k} + \sum_{n=1}^{N-2} x(n) \cos\left(\frac{\pi}{N-1} nk\right)$$

$$X(k) = \frac{1}{2} \left[x(0) + x(N-1) (-1)^k \right] + \sum_{n=1}^{N-2} x(n) \cos\left(\frac{\pi}{N-1} nk\right)$$

- što je direktni izraz za (neskalirani) DCT-I.



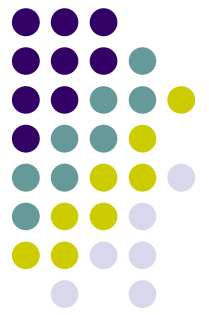
DCT-II (ili samo DCT)

- Najčešće je korištena druga varijanta ekstenzije.
- Os simetrije je na polovici između dva uzorka.
- Obično oznaka “DCT” označava upravo DCT-II, koja u skaliranoj varijanti glasi:

$$X(k) = w_k \cdot \sum_{n=0}^{N-1} x(n) \cos \frac{\pi}{N} \left(n + \frac{1}{2} \right) k$$

$$w_k = \begin{cases} \sqrt{1/N} & k = 0 \\ \sqrt{2/N} & k \neq 0 \end{cases}$$

između
dva uzorka



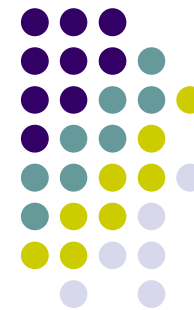
IDCT, izraz

- Izraz za inverznu DCT je:

$$x(n) = \sum_{k=0}^{N-1} w_k \cdot X(k) \cos \frac{\pi}{N} \left(n + \frac{1}{2} \right) k$$

$$w_k = \begin{cases} \sqrt{1/N} & k = 0 \\ \sqrt{2/N} & k \neq 0 \end{cases}$$

DCT – IDCT:
zamijenjene
uloge k i n !

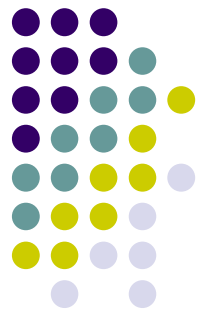


Matrica DCT

- Primjer, $N=4$

$$X(k) = w_k \cdot \sum_{n=0}^3 x(n) \cos \frac{\pi}{4} \left(\underset{\substack{\text{stupac} \\ \swarrow}}{n + \frac{1}{2}}} \underset{\substack{\text{redak} \\ \swarrow}}{k} \right)$$
$$w_k = \begin{cases} 1/2 & k = 0 \\ \sqrt{2}/2 & k \neq 0 \end{cases}$$

$$\begin{bmatrix} \frac{1}{2} \cos \frac{\pi}{4} \left(0 + \frac{1}{2} \right) \cdot 0 & \frac{1}{2} \cos \frac{\pi}{4} \left(1 + \frac{1}{2} \right) \cdot 0 & \frac{1}{2} \cos \frac{\pi}{4} \left(2 + \frac{1}{2} \right) \cdot 0 & \frac{1}{2} \cos \frac{\pi}{4} \left(3 + \frac{1}{2} \right) \cdot 0 \\ \frac{\sqrt{2}}{2} \cos \frac{\pi}{4} \left(0 + \frac{1}{2} \right) \cdot 1 & \frac{\sqrt{2}}{2} \cos \frac{\pi}{4} \left(1 + \frac{1}{2} \right) \cdot 1 & \frac{\sqrt{2}}{2} \cos \frac{\pi}{4} \left(2 + \frac{1}{2} \right) \cdot 1 & \frac{\sqrt{2}}{2} \cos \frac{\pi}{4} \left(3 + \frac{1}{2} \right) \cdot 1 \\ \frac{\sqrt{2}}{2} \cos \frac{\pi}{4} \left(0 + \frac{1}{2} \right) \cdot 2 & \frac{\sqrt{2}}{2} \cos \frac{\pi}{4} \left(1 + \frac{1}{2} \right) \cdot 2 & \frac{\sqrt{2}}{2} \cos \frac{\pi}{4} \left(2 + \frac{1}{2} \right) \cdot 2 & \frac{\sqrt{2}}{2} \cos \frac{\pi}{4} \left(3 + \frac{1}{2} \right) \cdot 2 \\ \frac{\sqrt{2}}{2} \cos \frac{\pi}{4} \left(0 + \frac{1}{2} \right) \cdot 3 & \frac{\sqrt{2}}{2} \cos \frac{\pi}{4} \left(1 + \frac{1}{2} \right) \cdot 3 & \frac{\sqrt{2}}{2} \cos \frac{\pi}{4} \left(2 + \frac{1}{2} \right) \cdot 3 & \frac{\sqrt{2}}{2} \cos \frac{\pi}{4} \left(3 + \frac{1}{2} \right) \cdot 3 \end{bmatrix}$$



DCT i IDCT matrice

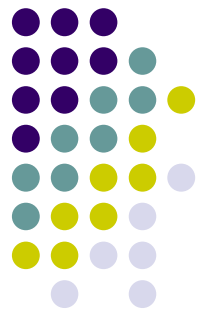
DCT

$$\begin{bmatrix} 0.50 & 0.50 & 0.50 & 0.50 \\ 0.65 & 0.27 & -0.27 & -0.65 \\ 0.50 & -0.50 & -0.50 & 0.50 \\ 0.27 & -0.65 & 0.65 & -0.27 \end{bmatrix}$$

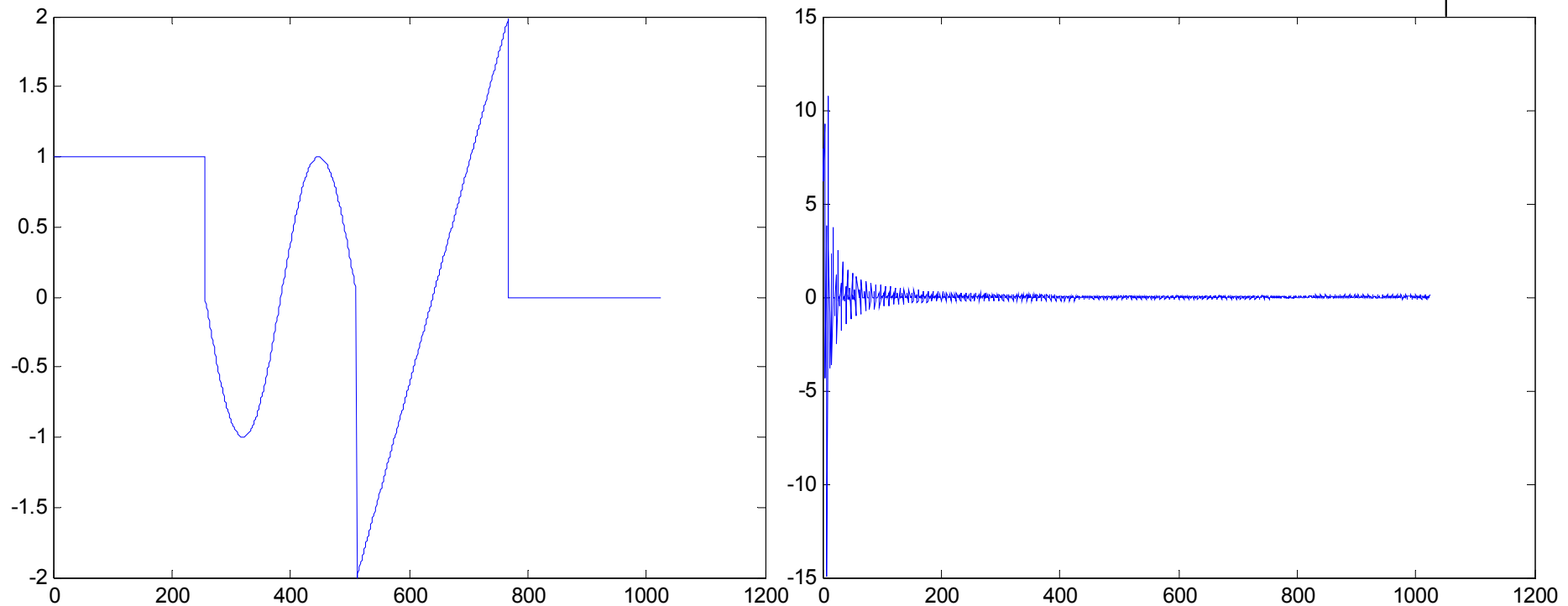
IDCT

$$\begin{bmatrix} 0.50 & 0.65 & 0.50 & 0.27 \\ 0.50 & 0.27 & -0.50 & -0.65 \\ 0.50 & -0.27 & -0.50 & 0.65 \\ 0.50 & -0.65 & 0.50 & -0.27 \end{bmatrix}$$

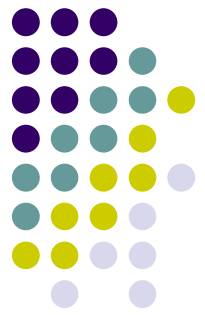
- Inverzna DCT matrica se dobije običnom transpozicijom (zamjenom uloga n i k) !
- Takve se matrice nazivaju **unitarnim**.
- MATLAB: *dct*, *idct*.



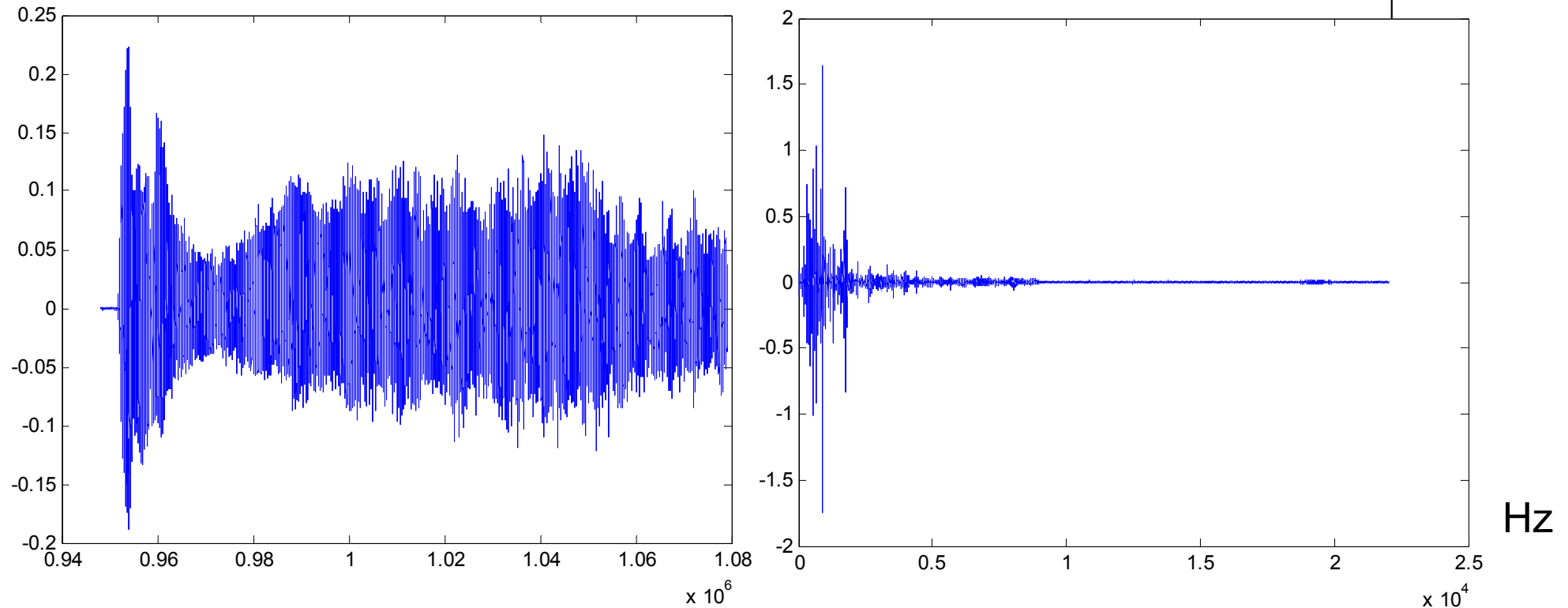
Primjer 1



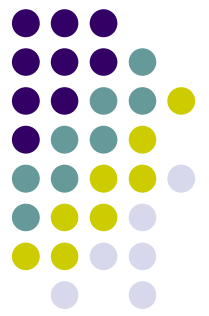
- Lijevo signal, desno DCT
- Lijevo: 54% uzoraka signala čini 95% energije, desno: 1.6% uzoraka DCT spektra čini 95% energije.



Primjer 2

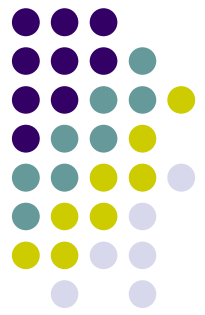


- Lijevo glazbeni signal, desno DCT.
- Lijevo: 54% uzoraka signala čini 95% energije, desno: 3.7% uzoraka DCT spektra čini 95% energije.



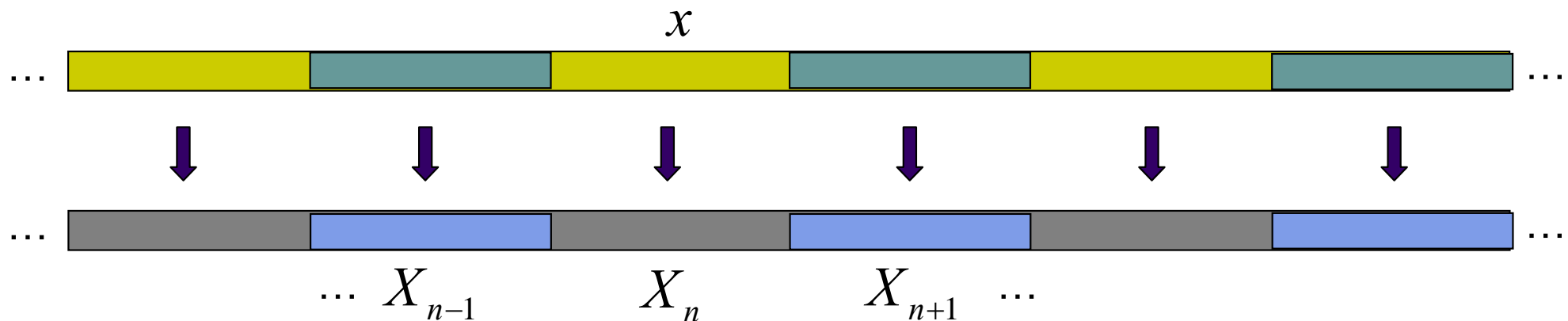
Numerička složenost

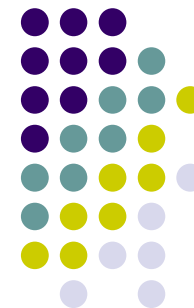
- Direktna implementacija DCT signala dužine N traži:
 - $N \times N$ kompleksnih množenja
 - $N \times (N-1)$ kompleksnih zbrajanja
- Sve varijante DCT se efikasno računaju preko FFT algoritama,
- iako veze mogu biti složenije od pokazane DCT-I zbog varijanti simetrije (na pola ili na cijelom uzorku, uz parni ili neparni broj uzoraka, ...) te zbog raznih varijanti periodičkog proširenja u tim slučajevima.



DCT filtarski slog

- DCT filtarski slog konstruiramo na isti način kao i DFT slog: razlika je što sad dobivamo **realne** filtre!
- Signal podijelimo u blokove dužine N te na svakom bloku računamo DCT:





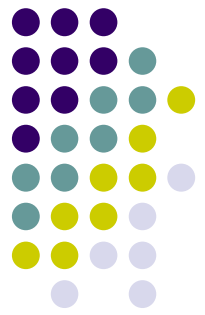
DCT filtri

Oznaka $W_4^{3,2}$

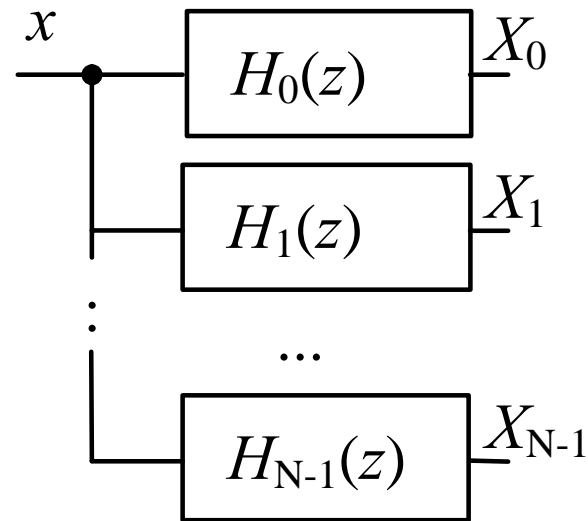
$$\begin{bmatrix} X(0) \\ X(1) \\ X(2) \\ X(3) \end{bmatrix} = \begin{bmatrix} 0.50 & 0.50 & 0.50 & 0.50 \\ 0.65 & 0.27 & -0.27 & -0.65 \\ 0.50 & -0.50 & -0.50 & 0.50 \\ 0.27 & -0.65 & 0.65 & -0.27 \end{bmatrix} \begin{bmatrix} x(0) \\ x(1) \\ x(2) \\ x(3) \end{bmatrix}$$

- Svaki redak matrice daje FIR filter dužine N .
- Elemente matrice označimo sa $C_N^{k,n}$, pa je k -ti filter:

$$\begin{array}{c} x \end{array} \begin{array}{c} \boxed{H_k(z) = C_N^{k,0} + zC_N^{k,1} + z^2C_N^{k,2} + \dots + z^{N-1}C_N^{k,N-1}} \end{array} \begin{array}{c} X_k \end{array}$$

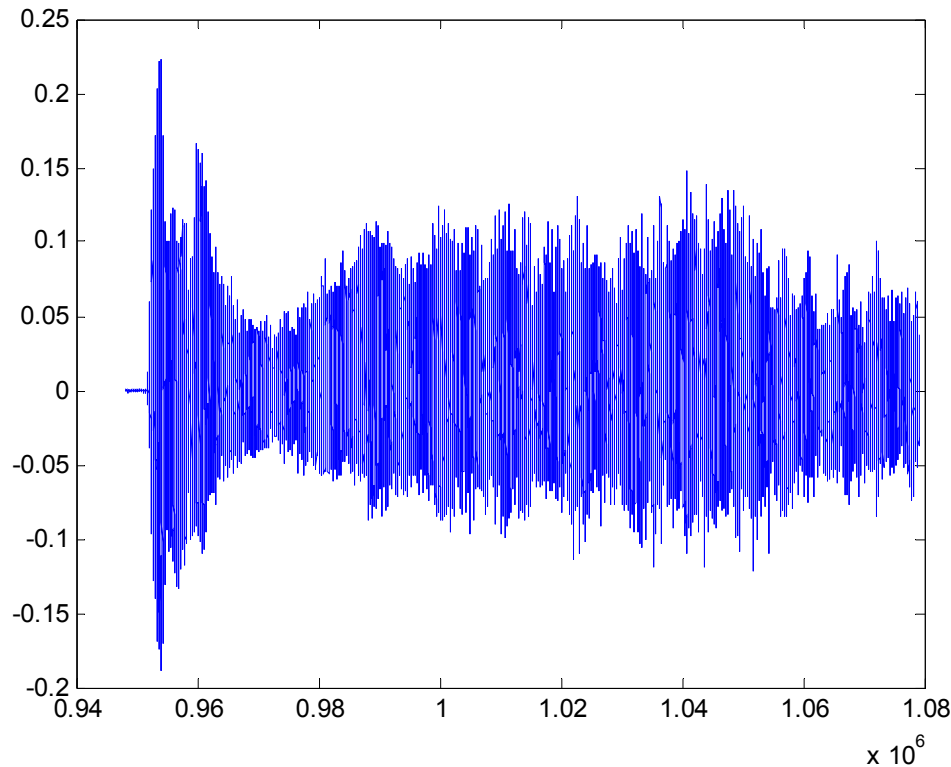


DCT filtarski slog

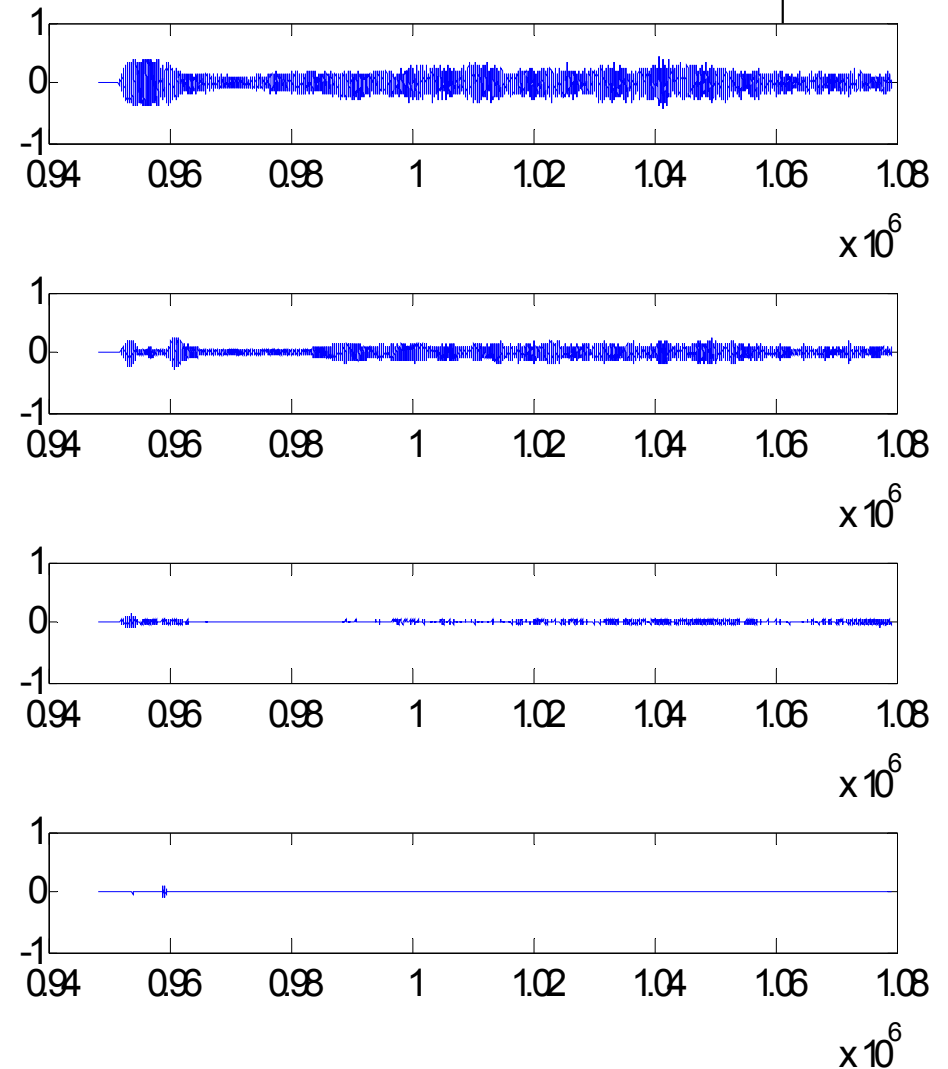


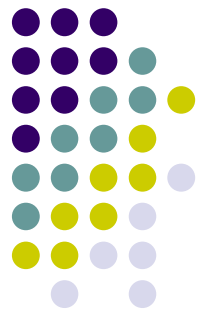
- Svaki filter daje po jedan DCT koeficijent u svakom trenutku vremena, a svi filtri zajedno sačinjavaju DCT filtarski slog.

Primjer



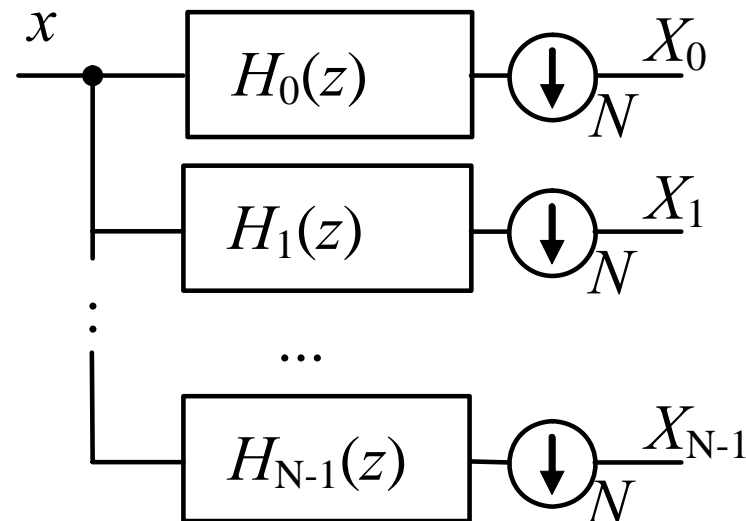
- Lijevo: glazbeni signal
- Desno: DCT32 filterarski slog, izlazi filtera $k = 0, 3, 7, 15$.

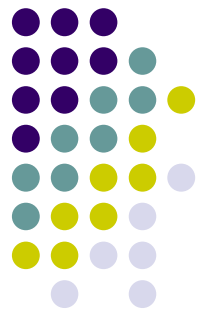




DCT filterbank s decimacijom

- Ukoliko zadržimo samo svaki N -ti uzorak rezultata i odbacimo sve ostale, dobili smo realizaciju DCT-a blok po blok:



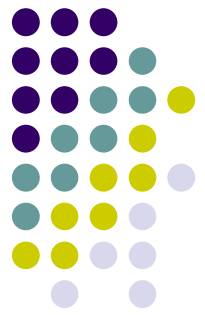


Inverzna DCT

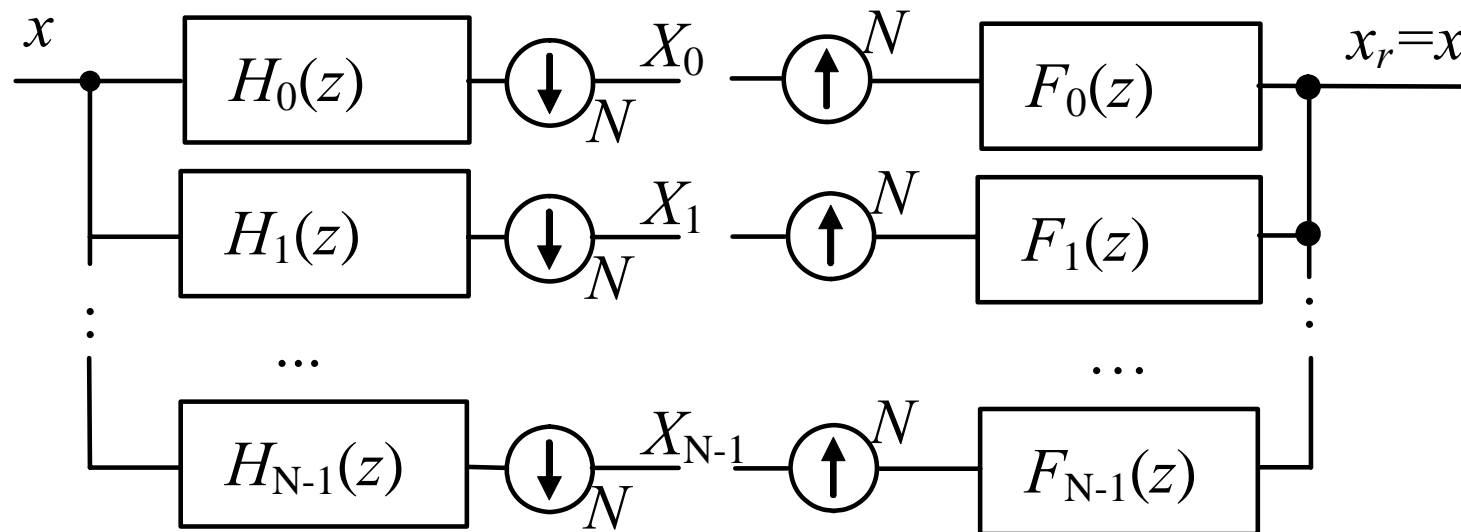
- Inverzna DCT realizirana je kao FIR filter čiji su koeficijenti k -ti stupac matrice DCT^{-1} , što je isto što i k -ti redak matrice DCT.

$$\{X_k, 0, 0, \dots, 0\} \xrightarrow{\quad} \boxed{F_k(z) = C_N^{k,0} + z^{-1}C_N^{k,1} + \dots + z^{-N+1}C_N^{k,N-1}} \xrightarrow{\quad} x_k$$

- Blok od N uzoraka signala x rekonstruiramo zbrajanjem svih doprinosa x_k .

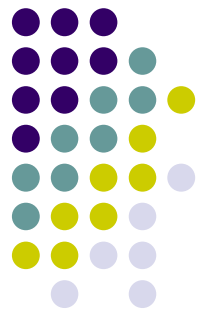


DCT filtarski slog

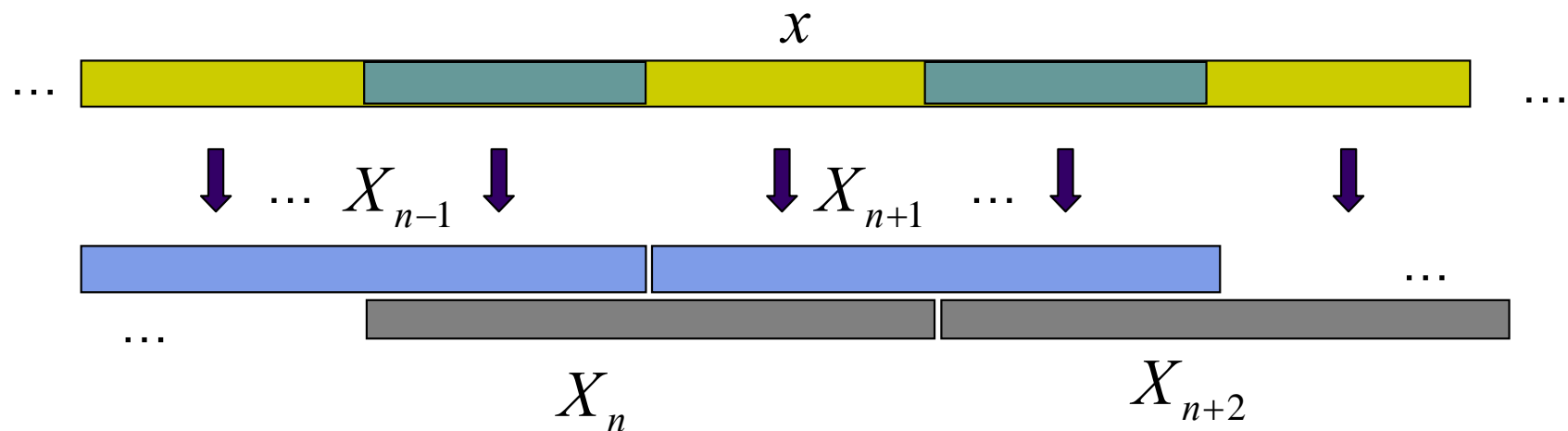


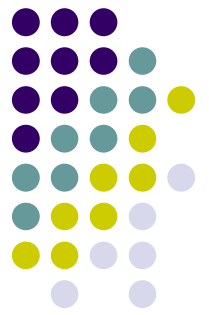
- Ovakav decimirani filtarski slog odgovara blok po blok izračunavanju DCT.
- Uzorci DCT spektra izračunati su za svakih N uzoraka vremena.

Blokovske metode s preklapanjem



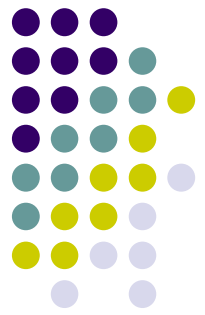
- Blokovske obrade (npr. u kompresiji signala) imaju nedostatak da se javljaju diskontinuiteti na rubovima blokova (*eng. blocking artifacts*).
- To je neprihvatljivo u obradi audio signala. Stoga se koriste metode s preklapanjem blokova:





MDCT

- Modificirana DCT (MDCT), ili DCT s preklapanjem blokova je sastavni dio [MP3](#), [AC-3](#), [Ogg Vorbis](#) i [AAC](#) audio koda.
- Uzimaju se blokovi signala dužine $2N$, a za svaki se računa po N DCT-IV koeficijenata.
- Nadalje, na svakom bloku mogu se primijeniti i odgovarajući vremenski otvori.
- Rekonstrukcija se vrši na temelju koeficijenata iz preklopljenih blokova.



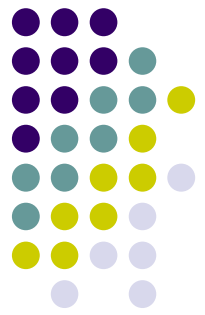
MDCT, izraz

$$X(k) = \sum_{n=0}^{2N-1} x(n) \cos \left[\frac{\pi}{N} \left(n + \frac{1}{2} + \frac{N}{2} \right) \left(k + \frac{1}{2} \right) \right]$$

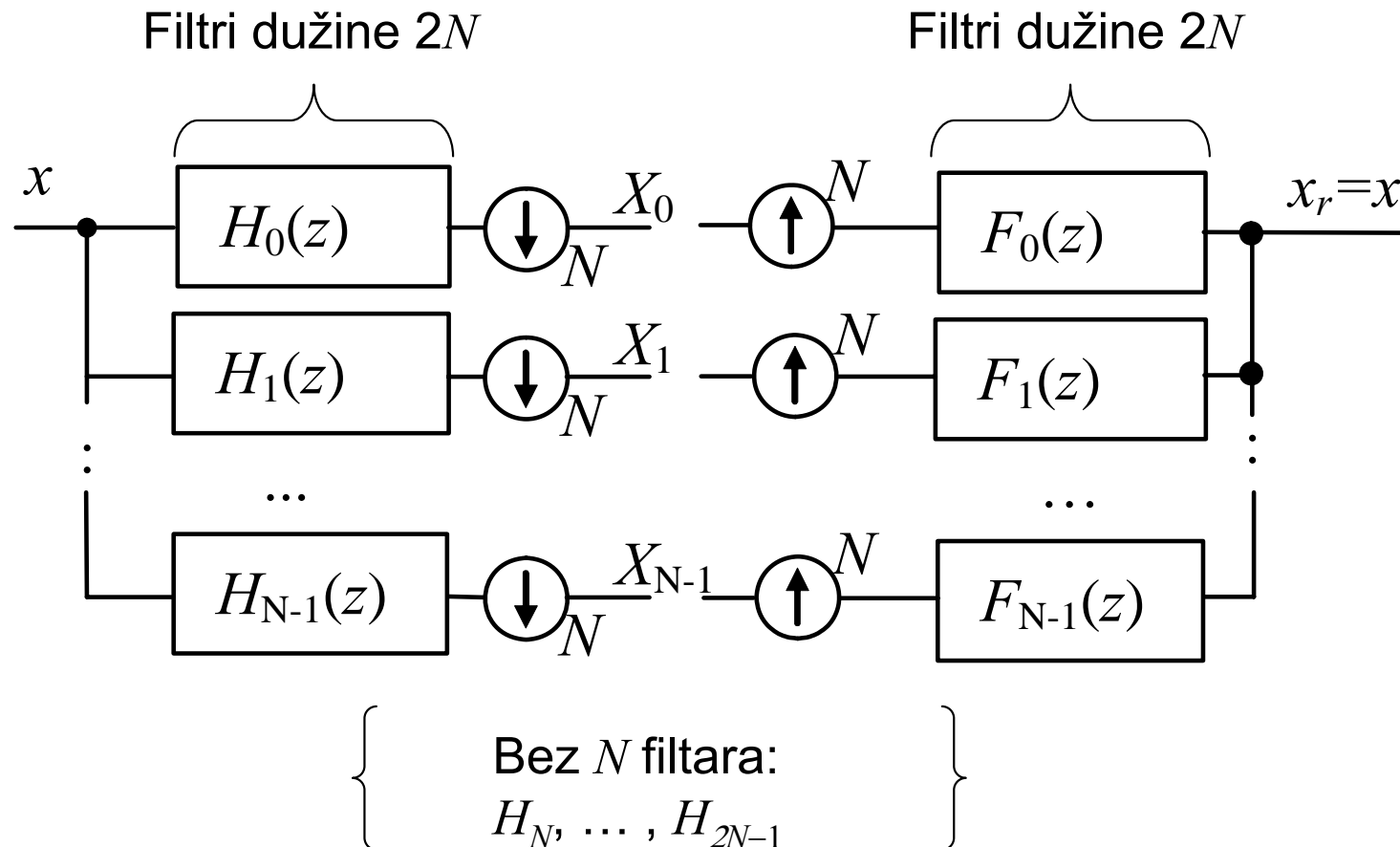
$k = 1, \dots, N-1$

- Razlike u odnosu na “običan” DCT-IV, gdje je gornja granica $N-1$; a argument bez pribrojnika $N/2$.
- Inverzni izraz je gotovo identičan, uz zamjenu n i k :

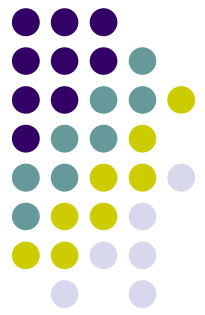
$$x(n) = \frac{1}{N} \sum_{k=0}^{N-1} X(k) \cos \left[\frac{\pi}{N} \left(n + \frac{1}{2} + \frac{N}{2} \right) \left(k + \frac{1}{2} \right) \right]$$



MDCT filtarski slog



- N DCT-IV filtara dužine $2N$; decimacija i ekspanzija za faktor N ; polovično preklapanje blokova.

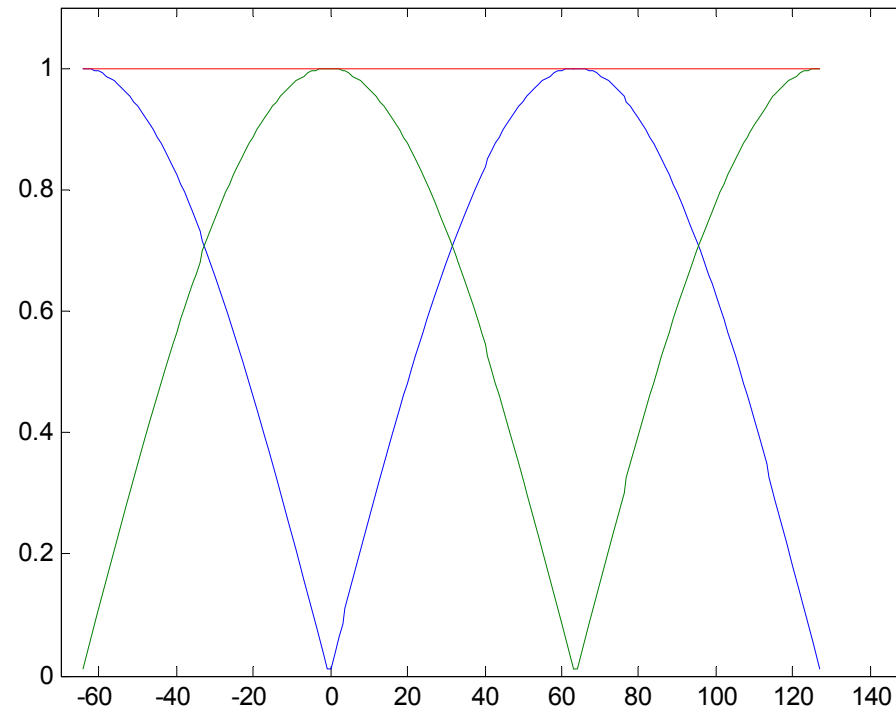


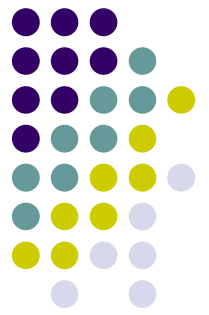
MDCT, vremenski otvor

- Na svaki blok podataka dodatno se primjenjuje vremenski otvor:

$$w(n) = \sin \frac{\pi}{2N} \left(n + \frac{1}{2} \right)$$

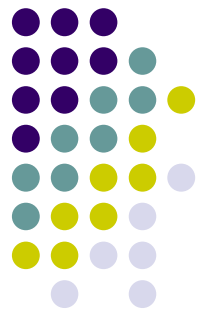
- Ovakav otvor ima svojstvo $w_n^2 + w_{n+N}^2 = 1$ i omogućuje potpunu rekonstrukciju.
- Primjena otvora prije MDCT i poslije IMDCT, na kraju rezultat $\times 2$.



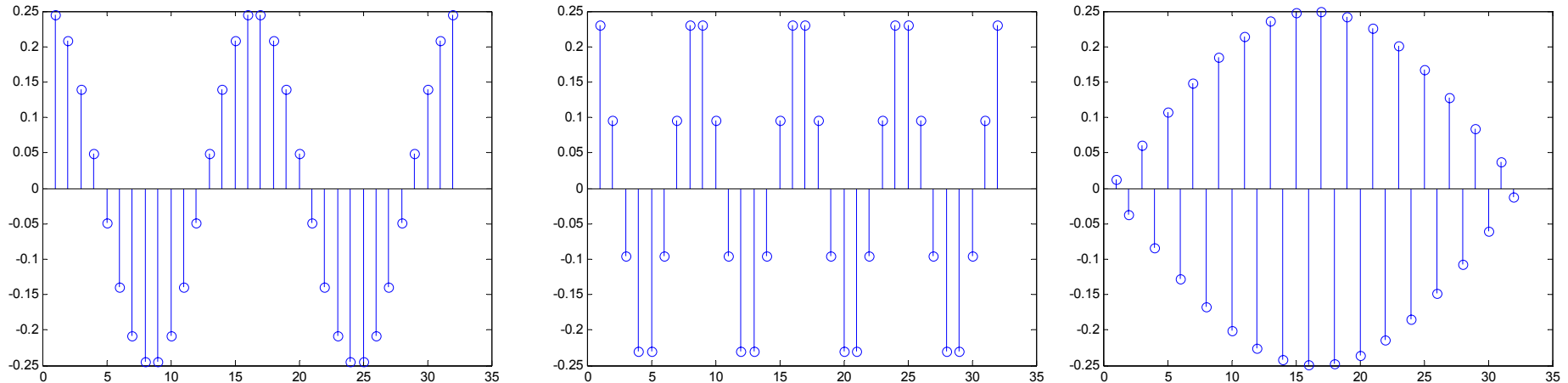


Druge transformacije

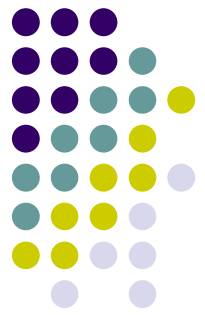
- Ako linearnu transformaciju predstavimo matricom (realnom, kompleksnom), onda svaka regularna matrica \mathbf{T} definira jednu linearnu transformaciju.
- Regularnost \rightarrow postoji \mathbf{T}^{-1} .
- Ima li transformacija s još povoljnijim svojstvima razlaganja?
- Potraga za transformacijom s najsažetijim opisom vodit će nas ka Karhunen-Loeve transformaciji.
- S druge strane, u JPEG2000 koristi se valićna (*eng. wavelet*) transformacija, zbog dobrih svojstava i numerički efikasne realizacije.



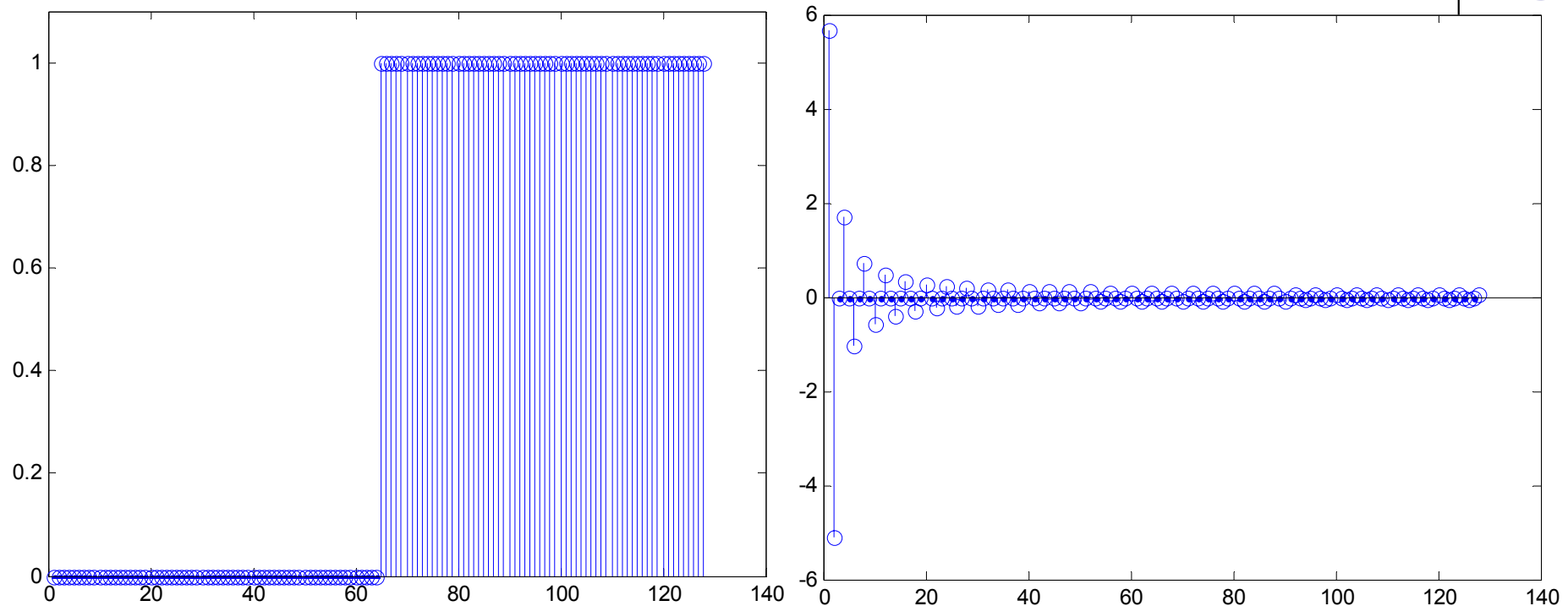
DCT funkcije



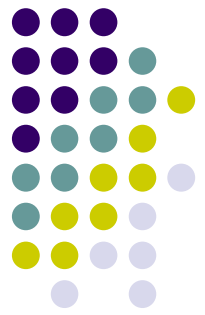
- Rekonstrukcijske DCT funkcije (impulsni odzivi filtara u DCT^{-1} slogu) su trajanja N , istog kao i analizirani signal.
- U gornjim slikama $N=32$, $k=4,8,31$.
- Ukoliko signal ima **diskontinuitet**, potrebno je **puno koeficijenata** za njegov uspješan opis.



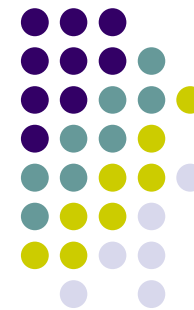
Funkcija s diskontinuitetom



- Lijevo signal, desno DCT spektar.
- DCT spektar ima puno uzoraka koji sporo opadaju, kako bi se zbrajanjem glatkih funkcija trajanja N opisao diskontinuitet.



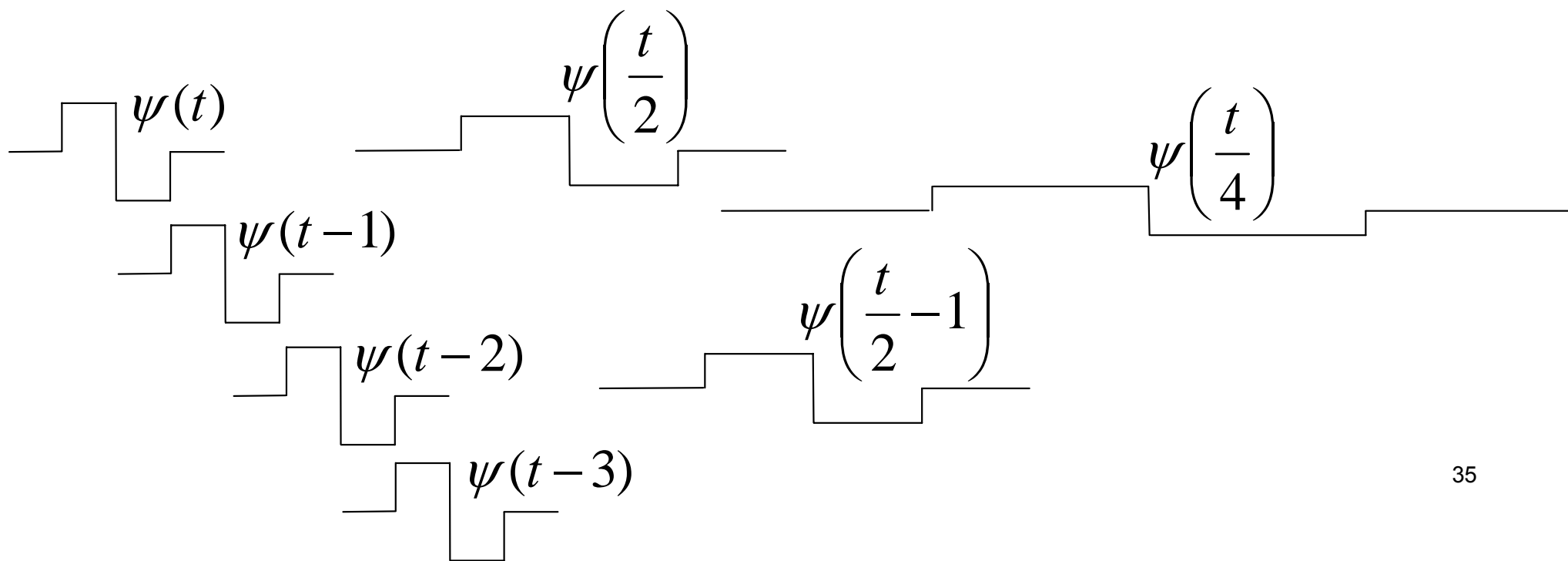
- Mnogi realni signali (i slike) su po dijelovima glatki, s diskontinuitetima između.
- Za sažet opis takvih signala bolje bi nam poslužio skup funkcija **različitog** trajanja.
- Ideja: signal ćemo razložiti na “valiće” (*eng. wavelets*), koji su rastegnute i pomaknute kopije nekog predloška (*eng. mother wavelet*).



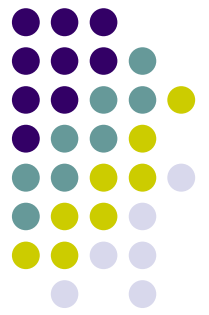
Wavelet transformacija

- Najjednostavniji je slučaj Haarove transformacije:

$$\psi(t) = \begin{cases} 1 & 0 \leq t < 1/2 \\ -1 & 1/2 \leq t \leq 1 \\ 0 & \text{drugdje} \end{cases}$$

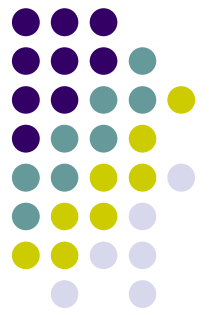


Diskretne analizirajuće funkcije (primjer za $N=8$)



- Najuže analizirajuće funkcije, 4 pomaka
 - $\{1 -1 0 0 0 0 0 0\} \cdot 1/\sqrt{2},$
 - $\{0 0 1 -1 0 0 0 0\} \cdot 1/\sqrt{2},$
 - $\{0 0 0 0 1 -1 0 0\} \cdot 1/\sqrt{2},$
 - $\{0 0 0 0 0 0 1 -1\} \cdot 1/\sqrt{2};$
- Funkcije srednje širine, 2 pomaka
 - $\{1 1 -1 -1 0 0 0 0\} \cdot 1/2,$
 - $\{0 0 0 0 1 1 -1 -1\} \cdot 1/2;$
- Najšira analizirajuća funkcija:
 - $\{1 1 1 1 -1 -1 -1 -1\} \cdot 1/(2\sqrt{2});$
- DC ostatak:
 - $\{1 1 1 1 1 1 1 1\} \cdot 1/(2\sqrt{2});$

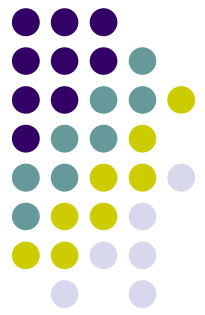
Matrica Haarove wavelet transformacije



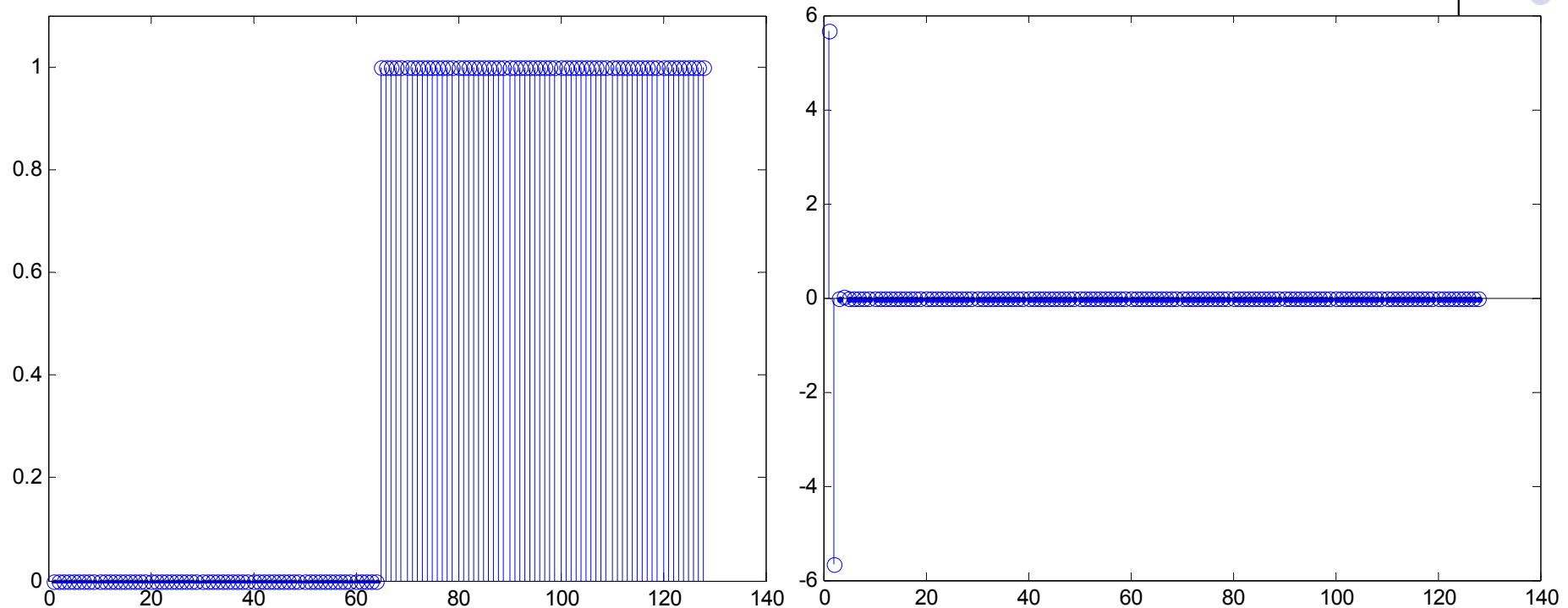
- $N=8$, Haarova matrica **T**

$$T_8 = \frac{1}{\sqrt{8}} \begin{bmatrix} 1 & 1 & 1 & 1 & 1 & 1 & 1 & 1 \\ 1 & 1 & 1 & 1 & -1 & -1 & -1 & -1 \\ \sqrt{2} & \sqrt{2} & -\sqrt{2} & -\sqrt{2} & 0 & 0 & 0 & 0 \\ 0 & 0 & 0 & 0 & \sqrt{2} & \sqrt{2} & -\sqrt{2} & -\sqrt{2} \\ 2 & -2 & 0 & 0 & 0 & 0 & 0 & 0 \\ 0 & 0 & 2 & -2 & 0 & 0 & 0 & 0 \\ 0 & 0 & 0 & 0 & 2 & -2 & 0 & 0 \\ 0 & 0 & 0 & 0 & 0 & 0 & 2 & -2 \end{bmatrix}$$

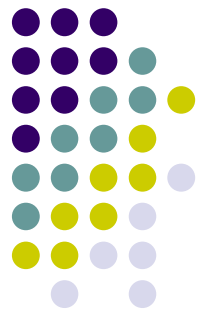
- Inverzna matrica se dobije transpozicijom: matrica je **unitarna**.



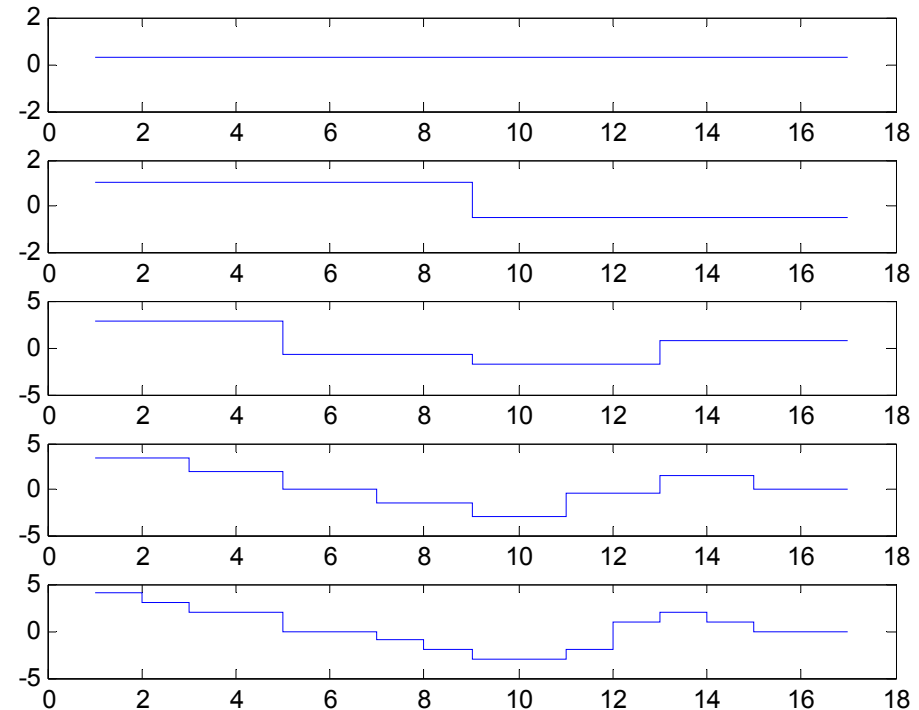
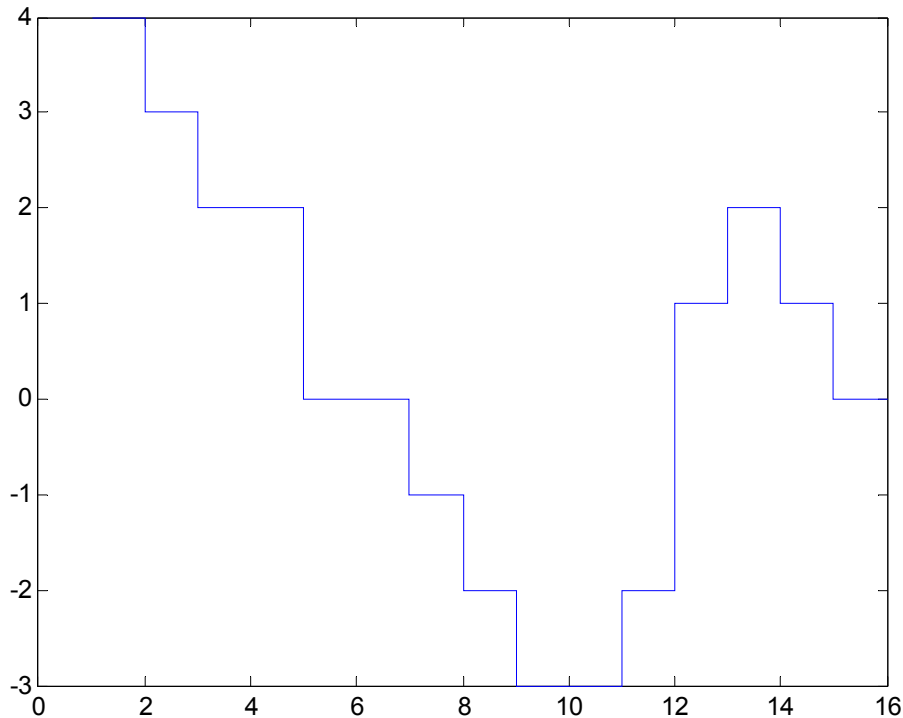
Funkcija s diskontinuitetom



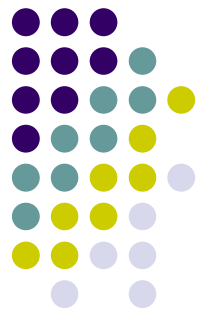
- Lijevo signal, desno Haarov wavelet spektar.
- Diskontinuitet je jako dobro opisan kratkim Haarovim funkcijama!



Multirezolucijska priroda DWT

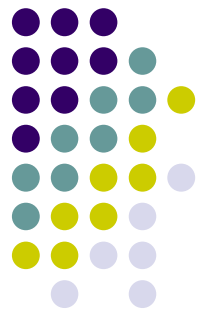


- Lijevo: signal, $N=16$. Desno: parcijalna rekonstrukcija iz jednog, dva, 4, 8 ili svih 16 koeficijenata DWT spektra.
- Novi koeficijenti sukcesivno poboljšavaju rezoluciju rekonstruiranog signala.



Drugi valići i primjene

- Postoje brze realizacije zasnovane na wavelet filtarskim slogovima (red veličine $\sim N$ operacija)
- Osim Haarovog, postoji čitav niz drugačijih izbora valića.
- Primjene:
 - Kompresija: JPEG 2000, Digital Cinema, ...
 - Potiskivanje šuma
 - ...



Obradili smo...

- Realni spektri: motivacija i prijelaz.
- Varijante parne i periodičke ekstenzije.
- Diskretna kosinusna transformacija (DCT)
- DCT matrica i filtarski slog
- Modificirana DCT
- MDCT filtarski slog
- Wavelet transformacija: Haar